

## 丘陵地の水循環機構とそれに対する都市化の影響

## Hydrological Cycle of Hilly Land and Effects of Urbanization on It

東京大学工学部土木工学科 正員 ○安藤義久

東京大学生産技術研究所 正員 虫明功臣

東京大学工学部土木工学科 正員 高橋 裕

## 1. はじめに

筆者らは、大規模な宅地開発が進行している多摩丘陵を対象として、丘陵地の自然流域の水循環機構を究明し、これをふまえて都市化が丘陵地の水循環機構に及ぼす影響を明らかにすることを研究の目的としている。本稿では、多摩ニュータウン地区に設定された、自然状態の小試験流域（長池試験流域）と都市化が完了した小試験流域（永山試験流域）において観測された水文データに基づき、上記の検討を行う。

## 2. 自然流域の水循環機構

## 2-1. 長池試験流域の概要

長池試験流域は流域面積 4.4 ha の自然流域である。この流域特性については、既に述べてある<sup>1)</sup>。この流域においては、図1に示すように雨量・流出量・不飽和帶水分量・地下水位・蒸発量など水循環過程に沿って一貫した観測を行ってきた。これらの水文観測結果と長期および短期の水収支解析結果についても既に述べてある<sup>1)</sup>。

## 2-2. 長池試験流域の日単位の水循環機構

これについては、前報<sup>2)</sup>で詳細に述べてある。図2には、長池流域における日単位の水循環モデルを示す。図2(a)にはタンクモデルによる表示、図2(b)には数式による表示が示されている。即ち、降水量Pは谷部の池・湿という飽和域（前報では非浸透域と書いた）に降るPsと尾根・斜面の山林という浸透域に降るPiに分けられる。Psは、飽和域面積率（湿地・池の面積の流域面積に占める比率）をIsとすると、PsはIsPに相当し、長池流域の場合 Is ≈ 0.10であり、全部直接流出Dとなる。tを日単位の時間とすると、

$$D(t) = I_s P(t) \quad \dots \dots (1)$$

となる。Piは、浸透域面積率をIiとかくと、IiPに相当し、長池流域の場合 Ii ≈ 0.90 であり、全部浸透量Iとなる。

$$I(t) = I_i P(t) = P(t) - D(t) \quad \dots \dots (2)$$

表層の貯留量Msとすると、

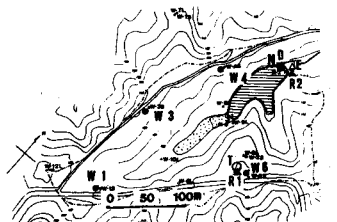
$$M_s(t) = M_s(t) + I(t) - E_i(t) \quad \dots \dots (3)$$

となる。ここで、Eiは浸透域からの蒸発散量であり、流域全体からの蒸発散量Eとすると、

$$E_i(t) = I_i E(t) \quad \dots \dots (4)$$

である。Msが表層の最小容水量Mn以下の場合には土温不足が補われ、Mn以上の場合にはその超過保留分が地下水へ涵養される。また、長池流域の場合にはMnは160 mmとする。地下水涵養量Gは

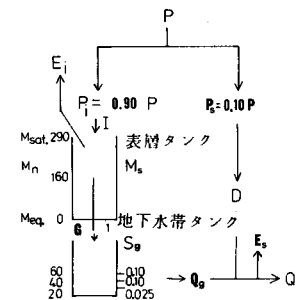
図1. 長池試験流域の概要



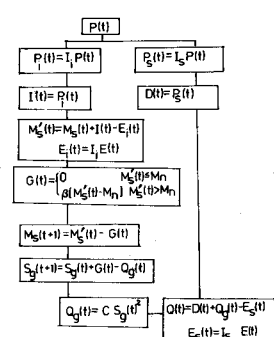
R : 自記雨量計  
W : 自記地下水位計  
N : 自記水位計  
T : 自記テント  
D : 直角三角尺  
メーター

図2. 長池流域の日単位の水循環モデル

(a) タンク・モデル表示



(b) 数式表示



$$G(t) = \begin{cases} 0 & M_s(t) \leq M_n \\ \beta \{ M_s(t) - M_n \} & M_s(t) > M_n \end{cases} \quad \dots \quad (5)$$

ここでは、1日単位を対象としているので超過保留分の全量が地下水涵養となるように $\beta = 1$ とする。地下水貯留量を $S_g$ とすると、  
 $S_g(t+1) = S_g(t) + G(t) - Qg(t) \quad \dots \quad (6)$

が成り立つ。地下水流出量を $Qg$ とすると、不透地下水の貯留関数に従い流出する。即ち、

$$Qg(t) = C \cdot S_g(t)^2 \quad \dots \quad (7)$$

長池流域の場合は $C = 0.0027$ である<sup>2)</sup>。

図2に示す水循環モデルの妥当性を検証するために、流出量と地下水貯留量の両方について、水循環モデルによる計算値と実測値を図3のように対比したところ、両者はよく対応しており、水循環モデルの妥当性が示された。なお、図3には、表層の水分保留量 $M_s$ と地下水涵養量 $G$ も同時に示されている。

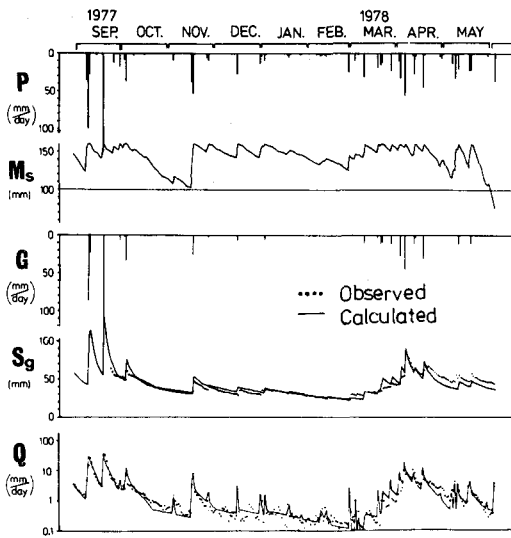
図2.(a)の表層タンクの底から最小容水量 $M_n$ までの高さを160mmにする根拠は、前報<sup>2)</sup>と同様に以下の2点である。

- 1) 水収支解析結果によると、不飽和帯の水分保留量の年間変動幅が約160mmである。
- 2) テンシオ・メーターの年間の観測結果において、地表から地下1.5mまでの土層の最小容水量と平衡水分量の差が170mm（流域全体換算では153mm）である。

1)については前報で述べてあるので、ここでは2)について述べる。図4には長池流域のテンシオメーターによる不飽和帯水分量の1年間の観測結果が示されている。この図をみると、深度1.5mまでの表層の水分量の変動が大きく、深度2m以深の水分量の変動は極めて小さいことがわかる。深度1.5mまでに注目すると、どの深度でも降雨後はある一定値になるが、これが最小容水量状態と考えられる。また、1978年8月には無降雨期間が1ヶ月にも及ぶ大渴水期となり、8月末の水分量は金子<sup>3)</sup>の提唱した平衡水分量状態と考えられる。表1には、こうして求めた最小容水量と平衡水分量と飽和水分量の一覧表を示す。飽和水分量はpFの水分量とした。

表1をみると、飽和水分量は容積含水率でみ

図3. 長池流域の水循環モデルによる流出量と地下水貯留量の計算値と実測値の比較



P: 雨量,  $M_s$ : 不飽和帶水分量

G: 地下水涵養量  $S_g$ : 地下水貯留量

Q: 流出量

図4. 長池流域のテンシオメーターによる深度別の不飽和帯水分量の1年間の観測結果 (P: 雨量, Q: 容積含水率)

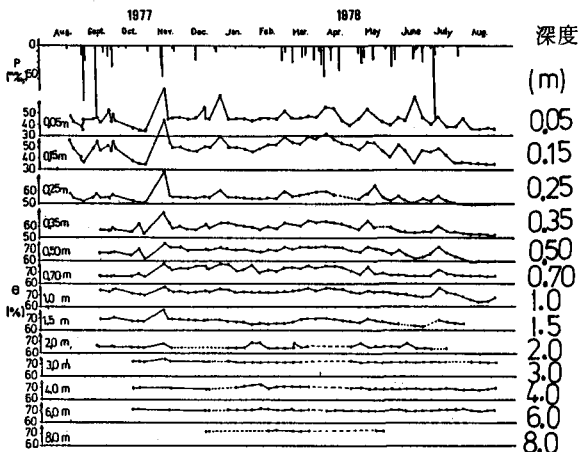


表1. 長池流域の表層の飽和・最小・平衡水分量

深度 (m)	代表土柱高 (mm)	飽和水分量 Msat.		最小容水量 Mn		平衡水分量 Meq.	
		%	pF	%	pF	%	pF
0.05	100	77	77	0	46	46	1.9
0.15	100	77	77	0	55	55	1.8
0.25	100	79	79	0	60	60	1.7
0.35	125	76	95	0	63	79	1.7
0.50	175	80	140	0	72	126	1.6
0.70	250	80	200	0	75	188	1.5
1.00	400	79	316	0	75	300	1.7
1.50	500	75	375	0	70	350	1.7
合計	1750	1359		1204		1035	

ると 75~80% の範囲にあり、表層全体（深度 1.75 m まで）の水分量は 1359 mm である。最小容水量は、pF でみると 1.5~1.9 の間にあり、従来いわれている 1.5~2.0 程度という値<sup>4)</sup>とほぼ符合している。最小容水量を容積含水率でみると、46~75% という範囲にあり、深度の浅い程、容積含水率は小さな値であるが、これは深度の深い部分は土壌帶であり、大空隙の占める割合が大きいためといえる。表層全体の最小容水量は 1204 mm である。平衡水分量は、pF でみると 1 深度以外は 2.4~2.8 の範囲にあり、容積含水率でみると 36~68% の範囲にあり、表層全体では 1035 mm である。表層全体の最小容水量と平衡水分量の差は 170 mm であり、飽和水分量と平衡水分量の差は 325 mm である。図 2(a)の表層タンクの底を平衡水分量状態  $M_{eq}$  と考えると、最小容水量状態  $M_n$  は 160 mm となり、表層タンクの上限を飽和状態  $M_{sat}$  とすると 290 mm（この値は 325 mm に浸透域面積率 0.90 をかけて求めた）となる。

### 2-3. 長池試験流域の降雨時の水循環機構<sup>5)</sup>

ここでは、長池試験流域を対象にして、降雨時の 1 時間単位の水循環の部分機構と全体機構を検討する。

#### (1) 直接流出機構

長池流域は 4.4 ha の微小流域のため、到達時間が非常に短く数分程度であるので、1 時間単位の雨量と直接流出量の比はそのまま直接流出率と考えられる。表 2 には、長池流域の 1 時間単位の直接流出率を示すが、1 時間単位の直接流出率は 7~11% の範囲にあることがわかる。そこで、図 2 の日単位の水循環モデルと同様に飽和域に降る約 10% の降雨が直接流出になると考える<sup>6)</sup>。

#### (2) 地下水流出機構

長池流域における地下水流出は不圧地下水流出であり、地下水流出量  $Q_g$  と地下水貯留量  $S_g$  との間の地下水流出の貯留関数は  $Q_g = C S^g$  で表され、タンクモデルで表示すると図 2(a)中に示すようになることは前報で述べた。降雨時の 1 時間単位についても同様な貯留関数およびタンクモデルで表されると考える。ただし、時間単位が 1 日から 1 時間になるので、 $Q_g = 0.000113 S^g$  となる。

#### (3) 樹冠遮断と浸透量

長池流域の浸透域は雜木林となっており、降雨時の場合には樹冠遮断を考慮する必要がある。表 3 は、長池流域の林内雨量と林外雨量の比を時間雨量階級別にまとめたものである。この表をみると、林内雨量は林外雨量の約 74% に相当するので、浸透域に降る雨量  $P_i = 0.90 P$  の 74% に相当する 0.67 P が土中への浸透量  $I$  となり、 $I_c = 0.23 P$  が樹冠遮断となると考える。

#### (4) 不飽和帯の水分保留の動態

まず、流域全体を対象として、降雨時の 1 時間単位の水収支式⑧により不飽和帯の水分保留量変化  $\Delta M_s$  を算出する。

$$P - Q = I_c + \Delta M_s + \Delta H \cdot P_a + \Delta W_s \quad \dots \dots \quad ⑧$$

ここで、 $P$  : 時間雨量、 $Q$  : 流出量、 $I_c$  : 樹冠遮断量、 $\Delta H$  : 地下水位変化、 $P_a$  : 有効空隙率（長池流域では 0.04）、 $\Delta W_s$  : 地表水の貯留量変化（長池流域では池の貯留量変化に相当する）である。ついで、地下水帯を対象とした水収支式⑨により、地下水涵養量  $G$  を求める。

表 2. 長池流域の 1 時間単位の直接流出率

時間雨量の階級 $P$ (mm/hr)	サンプル数	直接流出率	
		平均値 (%)	標準偏差 (%)
0 ≤ $P < 5$	301	9.1	8.4
5 ≤ $P < 10$	41	7.4	2.9
10 ≤ $P < 15$	12	8.3	3.0
15 ≤ $P < 20$	4	9.5	1.0

表 3. 長池流域の林内雨量と林外雨量の比

時間雨量の階級 $P$ (mm/hr)	サンプル数	林内雨量の平均値 林外雨量
0 ≤ $P < 5$	238	0.65
5 ≤ $P < 10$	22	0.74
10 ≤ $P$	6	0.74

図 5. 長池流域の不飽和帯水収支結果

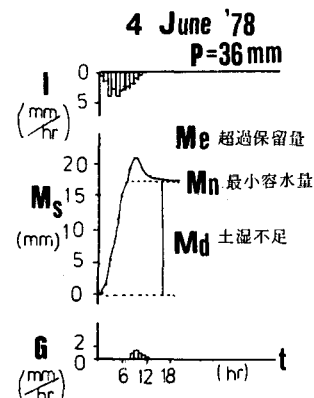
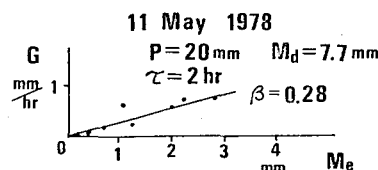


図 6. 長池流域の不飽和帯の超過保留量  $M_e$  と地下水涵養量  $G$



$$G - Qg = \Delta H \cdot Pa \quad \dots \dots \textcircled{9}$$

こうして求めた△MsとGを用い、不飽和帯を対象とした水収支式⑩により、浸透量Iを算出する。

$$I - G = \Delta M_S \quad \dots \quad (10)$$

こうして得た不飽和帯の水収支結果を図5に例示する。降雨終了後、半日程で不飽和帯水分量Msは安定状態になっているが、これが最小容水量Mn状態と考えられる。このMnと降雨前の水分量との差が土湿不足Mdである。MsがMn以上の時の超過分が超過保存量Meである。

前報<sup>2)</sup>の図8には、テンシオ・メーターによる降雨時の不飽和帯の水分保留の深度別動態を示してあるが、これをみると土湿不足や超過保留の生ずる領域は不飽和帯の中でも表層の土壤帶の部分が主であると推察される。

### (5) 地下水涵養機構

図5をみると、地下水涵養量Gと超過保留量Meとの間に次式のような関係式の存在が推定される。

$$G(t) = \beta M e^{-\gamma(t-\tau)} \quad \dots \quad (11)$$

ただし、 $\beta$ ：定数、t：時間、 $\tau$ ：遅れ時間。

各降雨について、図6に示すように、MeとGとの相間関係を導入し、図6の左側のトマトの開花期

⑪式の関係が成り立っていることが分った。地下水涵養機構の定数 $\beta$ と $\tau$ の一覧表を表4に示すが、 $\beta$ は0.15～0.45の範囲にあり、平均値は0.28

であり、 $\tau$  は 0 ~ 4 hr の範囲にあり、平均値は 2 hr である。なお、(11) 式をタンク・モデルで表示すると、図 7 のようになる。

## (6) 水循環モデル

以上、述べてきた水循環の各過程の部分機構を合成して、図8に示す“降雨”時の1時間単位の水循環モデルを作成した。図8(a)にはタンクモデル表示で、図8(b)には数式表示で描いてある。地下水涵養機構の定数は、平均値の $\beta = 0.28$ 、 $\tau = 2\text{ hr}$ を用いた。降水Pの内、飽和域に降る $P_d = I_s P$ ( $I_s$ :飽和域面積率で0.10)は直接流出Dとなり、浸透域に降る $P_i = I_i P$ ( $I_i$ :浸透域面積率で0.90)の中で $I_c = 0.23 P$ は樹冠に遮断され、残りの $I = P_i - I_c$ が土中に浸透する。 $I$ は土湿不足を満たした後、地下水涵養量Gは超過保存量 $M_e$ に比例し時間遅れ $\tau$ をもって地下水に涵養される。地下水貯留量 $S_g$ の2乗に比例する地下水流出量 $Q_g$ に直接流出量Dが加わり、流出量Qとなる。図7の降雨時の水循環モデルによる流出量Qと地下水貯留量 $S_g$ の計算値と実測値を比較した結果を図9に例示するが、計算値と実測値はよく対応しており、モデルの妥当性が示されたといえる。

表4. 長池流域の地下水  
涵養機構の定数

No.	P (mm)	$\tau$ (hr)	$\beta$ (hr <sup>-1</sup> )
1	13	3	0.20
2	15	4	0.15
3	18	3	0.20
4	23	1	0.35
5	42	0	0.20
6	55	3	0.35
7	29.5	1	0.45
8	45	0	0.18
9	20	2	0.28
10	36	1	0.38
11	25.5	2	0.30
12	40	1	0.27
		2	0.28

図7. 長池流域の地下水涵養機構のタンクモデルによる表示

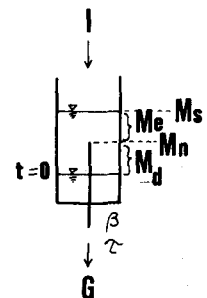


図8. 長池流域の降雨時の水循環モデル

(a) タンク・モデル表示 (b) 数式表示

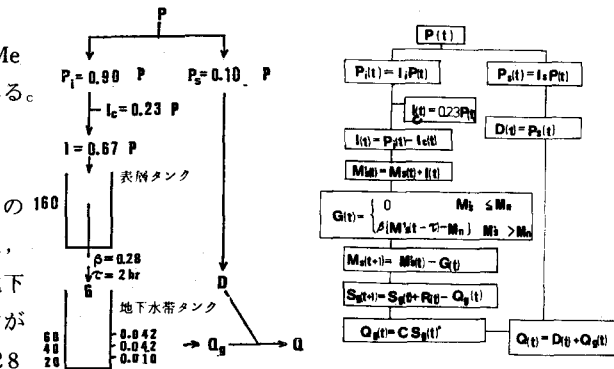
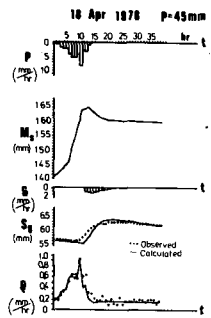


図9. 長池流域の降雨時の水循環モデルによる計算値と実測値の比較



### 3. 都市流域の水循環機構

#### 3-1. 永山試験流域の概要

##### (1) 流域特性

永山試験流域は、多摩ニュータウン内の永山団地の一角に設置された、面積が約 2.8 ha の小試験流域である。また、本試験流域は、多摩川水系乞田川の支川の最上流部に位置する。この流域の開発前の地形と土地利用は長池流域と類似している。永山流域は宅地造成により谷部は盛土され、尾根部は切土された。標高 113 ~ 119 m の緩傾斜の土地であり、図 10 に示すように中層集合住宅が 10 棟建つ住宅地の都市流域である。表 5 には永山流域の土地利用が示されている。図 11 には永山流域の地質を示すが、谷部は大部分ロームであるが尾根・斜面には一部砂層がみられる。標高 108 ~ 110 m にある層厚 2 m の粘土層の下部が難透水層と考えられ、その上部に不透地下水が存在する。

##### (2) 水文観測の方法

永山試験流域では、図 10 に示すように、雨量、流出量、蒸発量、地下水位、不飽和帶水分量といった水循環過程に沿って一貫した水文観測が行われている。

#### 3-2. 永山流域の長期水収支

##### (1) 1 年間の水文観測結果

図 12 には、永山流域における 1978 年 12 月から 1979 年 11 月までの 1 年間の雨量・地下水位・流出量の観測結果が示されている。図中、P は日雨量、H は地下水位標高、D は流出量を表す。図 12 をみると、流出量 D は雨量 P とよく対応しており、無降雨日には流出量がないことがわかる。この現象は、地下水位が流量観測所より低いことを考え合わせると、流出量 D は直接流出量であり、地下水流出量は含んでいないと考えられる。また、地下水位の変動に着目すると、W1 と W2 は降雨によく反応しているが、W3 は反応せず目詰まりの可能性があるので解析には用いない。また、図 13 には 1 年間の不飽和帶水分量の観測結果を示す。

図 12. 永山流域の 1 年間の雨量・地下水位・流量の観測結果

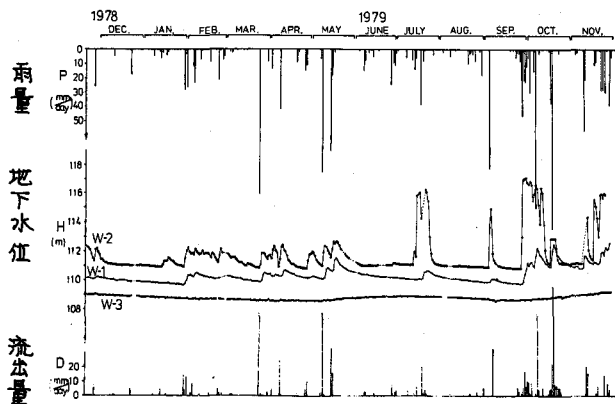
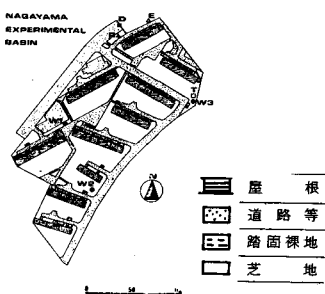


図 10. 永山試験流域の概要



E : 自記蒸発計  
R : 自記雨量計  
W : 自記地下水位計  
T : 自記テンシオ  
D : 直角三角堰  
メーター

表 5. 永山流域の土地利用

土地利用	面積(ha)	面積率(%)
屋根	0.35	12.5
道路等	1.03	36.7
踏固裸地	0.14	5.0
芝地	1.28	45.7
合計	2.80	100.0

図 11. 永山流域の地質

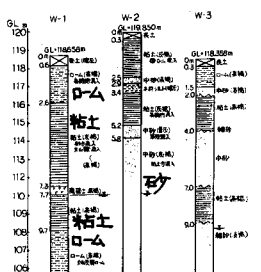
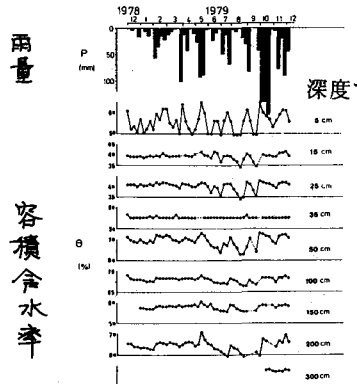


図 13. 永山流域の 1 年間の不飽和帶水分量の観測結果



## (2) 年・月・週単位の水収支

永山流域の流域全体の水収支式は、次式で表せる。

$$P - (D + Qg + E) = \Delta Ms + \Delta H \cdot Pa \quad \dots \quad (12)$$

前述したように、永山流域では地下水流出量  $Qg$  が観測されていないので、(12)式には  $Qg$  と  $E$  という 2 つの未知数があり、このままでは解析できない。ところで、地下水帶の水収支式は、次式で表せる。

$$G - Qg = \Delta H \cdot Pa \quad \dots \quad (13)$$

(12), (13)式より、次式が得られる。

$$P - (D + G + E) = \Delta Ms \quad \dots \quad (14)$$

この(14)式が永山流域の水収支の基本式である。(14)式の中には未知数が  $G$  と  $E$  の 2 つある。ところが、地下水涵養のおこる降雨時には、最大地下水位変化を  $\Delta H_{max}$  とすると、

$$G = \Delta H_{max} \cdot Pa \quad \dots \quad (15)$$

で  $G$  は近似的に求まる。なお、地下水位変化部分の有効空隙率  $Pa$  は土質試料の室内実験結果より 0.014 とする。

(15)式より  $G$  が求まるので、(14)式は解析できる。なお、流域平均の地下水位変化は  $W_1$  が盛土部、 $W_2$  が切土部をそれぞれ代表すると考え、加重平均して算出した。

以上のことにより求めた年および月単位の水収支結果の一覧表を表 6 に示す。表 6 の中で  $E_{imp}$  は不浸透域からの蒸発量で、降雨日数に一律 1 mm をかけて算定する。 $E_i$  は浸透域からの蒸発散であり、浸透域の単位面積当たりに換算すると約 1000 mm/年となり、長池流域の約 900 mm/年と大差ないことがわかる。浸透域からの月別蒸発散高についても、永山流域の方が冬季に若干大きな値を示す他は大差がないようと思われる<sup>1)</sup>。

図 14 には、永山流域と長池流域の年単位の水収支結果の比較を示すが、これをみると都市流域は自然流域と比べると、直接流出率が 5 倍も大きいからに、地下水流出率が半分程度と小さく、蒸発散の割合も 0.6 倍程度と小さい。直接流出率の増大は、自然流域である長池流域においては直接流出の生起領域が池・湿地などの飽和域であるのに対して、都市流域である永山流域においては直接流出の生起領域が建物・道路等の不浸透域であるためと考えられる。また、永山流域ではこの不浸透域が流域の 50% 程度を占めるため、浸透域が減少して地下水涵養量が減少したため自然流域である長池流域に比べて地下水流出量が少ないと考えられる。蒸発散量に関しても、主要な蒸発散面である浸透域の減少が都市化に伴う蒸発散量の減少をもたらしたと考えられる。図 15, 16 には月と週単位の水収支結果を示すが同様のことがいえる。

表 6. 永山流域の年および月単位の水収支

年	月	日数 (日)	P (mm)	D (mm)	G (mm)	$\Delta Ms$ (mm)	E (mm)	$E_{imp}$ (mm)	$E_i$ (mm)	$E_i^*$ (mm/日)	
1978	12	27	21.5	5.2	0.2	-16.4	32.5	2.0	30.5	2.35	
1979	1	29	22.0	6.5	2.2	-10.1	23.4	6.0	17.4	1.25	
	2	29	130.0	47.5	30.9	25.0	26.6	12.0	14.6	1.05	
	3	27	21.5	4.3	0.0	-15.8	33.0	8.0	25.0	1.93	
	4	32	168.5	90.9	28.8	3.6	45.2	5.0	40.2	2.62	
	5	30	21.0	123.9	33.0	1.9	51.2	7.0	42.4	3.07	
	6	30	34.0	5.8	0.2	-35.1	63.1	7.0	56.1	3.90	
	7	46	142.0	48.6	13.6	8.7	71.1	16.0	55.1	2.50	
	8	29	134.5	40.6	21.8	-9.2	81.3	10.0	71.3	5.12	
	9	36	323.5	125.9	71.5	30.4	95.7	18.0	77.7	4.50	
	10	31	250.5	165.8	31.8	10.5	42.4	8.0	34.4	2.31	
	11	21	155.5	63.9	51.8	5.4	34.4	9.0	25.4	2.52	
			367	1613.5	729.9	285.8	-11	599.9	108.0	491.9	2.79

図 14. 永山流域と長池流域の年の水収支の比較

(a) 永山流域 (都市流域) (b) 長池流域 (自然流域)

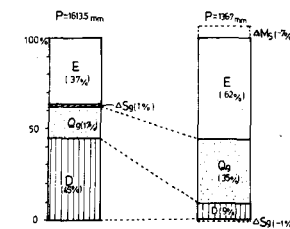


図 15. 永山流域と長池流域の月別水収支の比較

(a) 永山流域 (都市流域) (b) 長池流域 (自然流域)

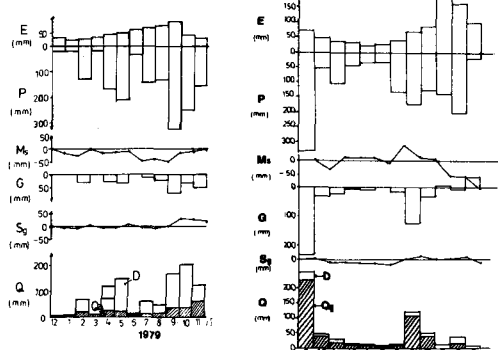
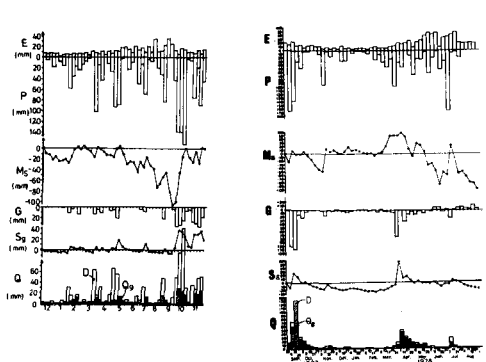


図 16. 永山流域と長池流域の週別水収支の比較

(a) 永山流域 (都市流域) (b) 長池流域 (自然流域)



### 3-3. 永山流域の短期水収支<sup>7)</sup>

#### (1) 降雨時の観測結果

図17.(a)には、永山流域における降雨時の雨量・地下水位・流出量の観測結果を例示する。この図をみると、流出ハイドログラフは降雨のハイエトグラフと非常によく対応しており、降雨のピークと流出のピークは同時刻におこっていることがわかる。降雨に対する地下水位の応答に関しては、W2の応答が最も早く、水位の上昇高も大きい。ついでW1の上昇高も大きい。しかし、W3の地下水位は降雨量が大きくともほとんど変動しない。W3はストレーナーが目詰りしている可能性が大きいので解析の対象から除くこととする。

図16.(b)には、永山流域の深度0.05～2.0mまでの8深度のテンシオメーターによる不飽和帯水分量の降雨時の観測結果の1例を示す。この図をみると、深度0.05mの水分量の変化が最も早く、しかも変動幅も最大である。深度が深い程、水分量の立ち上がりが遅い傾向がみられる。

#### (2) 降雨期間単位の水収支

(13), (14), (15)式に基づき、永山流域を対象として降雨期間単位の水収支を行った。その結果を図18(a)に示す。図18(b)には、自然流域である長池流域の降雨期間単位の水収支結果を比較のために示してある。この図をみると、自然流域(長池流域)では直接流出量の割合が10%程度であるのに、都市流域(永山流域)ではそれが30～60%程度もある点が非常に異なることがわかる。そこで、図19に示すように永山流域と長池流域の一雨ごとの雨量と直接流出量の相関図を描いた。一雨雨量をP、直接流出量をDとおくと、次式が成り立つ。

$$\text{永山流域(都市流域)}: D = 0.52P - 1.0 \quad \dots \dots \dots (16)$$

$$\text{長池流域(自然流域)}: D = 0.098P - 0.5 \quad \dots \dots \dots (17)$$

直接流出率をf( $= D/P$ )とかくと、長池流域では $f \approx 0.10$ であり、fの値は池・湿地という飽和域の占有面積率 $I_s$ に等しい。一方、永山流域では $f \approx 0.52$ であり、fの値は不浸透域面積率 $I_{imp}$ に等しく、山口ら<sup>8)</sup>と同様な結果が得られた。即ち、

都市流域(永山流域):  $f \approx I_{imp}$ (永山流域では $I_{imp} = 0.52$ )

自然流域(長池流域):  $f \approx I_s$  (長池流域では $I_s = 0.10$ )

図17. 永山流域の降雨時の観測結果

(a) 雨量・地下水位・流出量 (b) 不飽和帯水分量

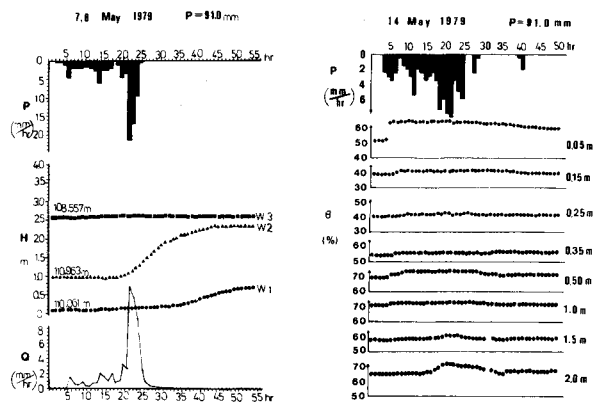
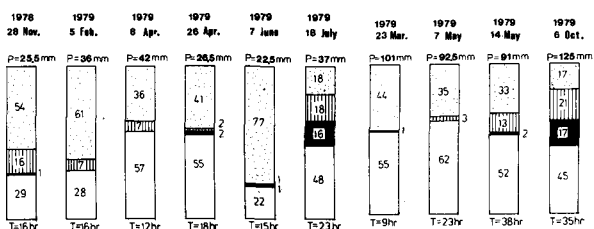
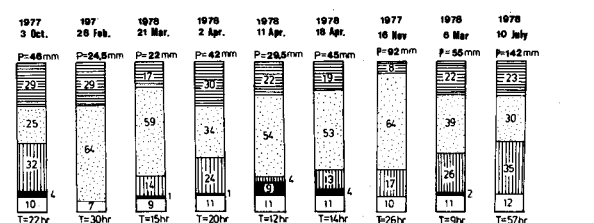


図18. 永山流域と長池流域の降雨期間単位の水収支の比較

(a) 都市流域(永山流域)

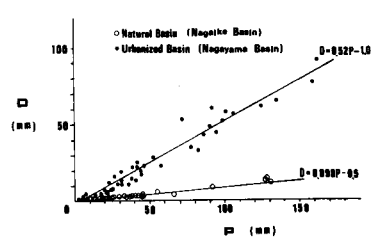


(b) 自然流域(長池流域)



■ 樹冠遮断量 □ 不飽和帯の水分保存量変化 ▨ 地下水貯留量変化  
■ 地下水流出口 □ 直接流出量

図19. 永山流域と長池流域の一雨ごとの直接流出率の比較



一方、図17において、不飽和帯の水分保留量の変化と地下水貯留量の変化の和である地下貯留量変化に着目すると、長池流域（自然流域）では70%程度であるのに対して、永山流域（都市流域）では40%前後の値となっている。これは、長池流域では浸透域が90%程度あるのに、永山流域では浸透域が48%程度しかない影響といえる。なお、永山流域では図19をみてもわかるように、不浸透域以外の芝生地などの浸透域に降る降雨はほとんど全部地中へ浸透していると考えられる。また、自然流域では20%程度の樹冠遮断があるが、都市流域では当然だが樹冠遮断はほとんどない。地下水流出量に関しては、都市流域と自然流域に大差はみられないが、地下水貯留量変化に関しては、都市流域の方が若干少ない傾向がみられる。これは、都市流域では浸透域面積率が小さく、浸透機会が少ないので地下水涵養量が自然流域に比べて小さいためと考察される。

### (3) 降雨時の1時間単位の水収支

図20には永山流域の降雨時の1時間単位の水収支解析結果の1例を示す。不飽和帯の水分保留量 $M_s$ が土湿不足を満たした後に地下水涵養 $G$ が始まり、降雨終了後1日程度で $M_s$ は安定状態、換言すると最小容水量 $M_n$ 状態となる。その時点での地下水貯留量 $S_g$ もピークとなる。直接流出量 $D$ は、時間雨量 $P$ とよく対応していることがわかる。

### 3-4. 永山流域の日単位の水循環機構

永山試験流域の直接流出・地下水流出・地下水涵養・蒸発散という各部分機構について検討し、全体機構を究明する。

#### (1) 直接流出機構

図19と⑯式で示したように、一雨ごとの直接流出 $D$ は、

$$D = 0.52 P - 1.0$$

で表されるが、日単位でも同様な式が成り立つと考える。

上式は次のように一般化してかける。

$$D = I_{imp} \cdot P - I_{imp} \cdot L \quad \dots \dots \textcircled{17}$$

ここで、 $L$ は降雨時の不浸透域における損失で、屋根・道路などの初期吸収・窪地貯留と不浸透域からの蒸発である。永山流域の場合、 $I_{imp} = 0.52$ 、 $L \approx 2 \text{ mm}$ である。

#### (2) 地下水流出機構

永山流域の地下水貯留量 $S_g$ は、W1、W2において地下水位 $H_1$ 、 $H_2$ が観測されているので次式で求まる。

$$S_g = \Delta H \cdot P_a + S_o \quad \dots \dots \textcircled{18} ; \quad \Delta H = (\Delta H_1 A_1 + \Delta H_2 A_2) / A \quad \dots \dots \textcircled{19}$$

ここで、 $\Delta H$ は流域平均の地下水位変化、 $P_a$ は地下水位変化部分の有効空隙率で永山流域の場合0.014である。 $S_o$ は地下水貯留量の初期値で、1978年11月21日の値を50mmと仮定した。 $A_1$ はW1の代表する領域（盛土部）の面積1.8ha、 $A_2$ はW2の代表する領域（切土部）の面積1.0ha、 $A$ は流域面積である。

一方、無降雨日の地下水流出量 $Q_g$ は、その日の地下水貯留量 $S_g$ の減少分に等しいと考えられる。すなわち、

$$Q_g = -d S_g / dt \quad \dots \dots \textcircled{20}$$

により、無降雨日の地下水流出量 $Q_g$ は推算できる。

こうして求めた、永山流域の無降雨日の地下水貯留量 $S_g$ と地下水流出量 $Q_g$ の相関図を図21に示す。永山流域では不圧地下水流出であり、地下水流出量 $Q_g$ は地下水貯留量 $S_g$ の2乗に比例し、次式で表される。

$$Q_g = 0.0030 (S_g - 35)^2 \quad \dots \dots \textcircled{21}$$

比例定数に注目すると、長池流域の0.0027とほぼ同程度の値であることがわかる。

図20. 永山流域の降雨時の1時間単位の水収支結果

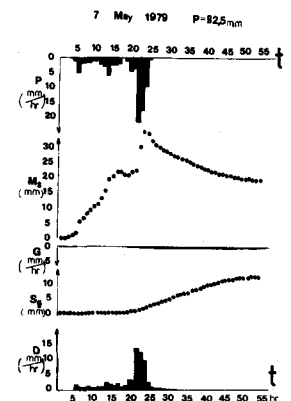
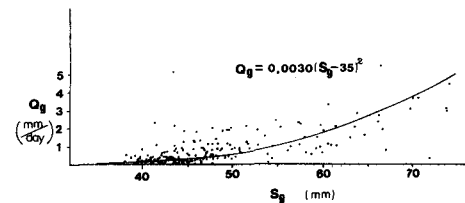


図21. 永山流域の地下水貯留量と地下水流出量の相関図



$S_g$  : 地下水貯留量

$Q_g$  : 地下水流去量

### (3) 地下水涵養機構

地下水涵養機構は、長池流域で述べたように、

$$G = \left\{ \begin{array}{ll} 0 & M_s \leq M_n \\ \beta (M_s - M_n) & M_s > M_n \end{array} \right\} \quad \dots \quad (22)$$

で表される。長池流域では、日単位の水循環モデルでは、 $\beta = 1$ としたが、永山流域では地下水の涵養が降雨終了後1日程度続くので、 $\beta = 0.7$ とする。一方、平衡水分量状態を0とした場合の最小容水量状態  $M_n$  の値に関しては、以下に述べる2点を勘案して  $100 \text{ mm}$ とした。

- 1) 図16に示すように、永山流域の1年間の不飽和帯水分量の最大値と最小値の差が110 mm程度であること。

2) 表7に示す永山流域の飽和・最小・平衡水分量によると、最小容水量と平衡水分量の差は159 mmであり、流域全体に換算すると約80 mmであること。ただし、表7中の平衡水分量はpF 2.7の時の水分量として求めた。同様に、飽和水分量はpF 0の時の水分量として求めた。最小容水量は、不飽和帯水分量の降雨後の安定状態の値として求めた(図17(b)参照)。

#### (4) 日単位の水循環モデル

永山流域の日単位の水循環モデルを図22に示す。図22(a)はタンク・モデルによる表示であり、図22(b)は数式表示である。降雨Pの内、不浸透域に降る降雨P<sub>imp</sub>は1mmの損失以外は全て直接流出Dとなる。損失量はその後蒸発する。浸透域に降る降雨P<sub>i</sub>は、全て浸透し、不飽和帯水分量M<sub>s</sub>と最小容水量M<sub>n</sub>の大小により②式に従って地下水へ涵養される。不圧地下水流出の貯留関数{Q<sub>g</sub>=CS<sub>g</sub><sup>θ</sup>}に従って、地下水は流出する。なお、浸透域からの蒸発散E<sub>i</sub>は月別の水収支から求めた月蒸発散量を小型蒸発計蒸発量により比例配分して推算した。不浸透域からの蒸発は降雨毎に最大1mm(不浸透域換算L=2mm)とする。

図23には、この水循環モデルによる計算値と実測値を示す。直接流出量Dと地下水貯留量Sgの計算値と実測値はよく対応しており、モデルの妥当性が示された。

表 7. 永山流域の表層の飽和・最小・

### 平衡水分量

深度 (m)	代表土 柱高 $\ell$ (mm)	饱和水分量 Msat.			最小容水量 Mn			平衡水分量 Meq.		
		%	mm	pF	%	mm	pF	%	mm	pF
0.05	100	66	66	0	63	63	12	47	47	2.7
0.15	100	41	41	0	40	40	1.2	34	34	2.7
0.25	100	44	44	0	41	41	0.5	34	34	2.7
0.35	125	57	71	0	56	70	0.2	55	69	2.7
0.50	325	74	241	0	71	231	1.3	62	202	2.7
1.00	500	73	365	0	71	355	1.8	66	330	2.7
1.50	500	61	305	0	60	300	0.8	54	270	2.7
2.00	500	73	365	0	66	330	1.2	57	285	2.7
合計	2250		1498		1430				1271	

図22. 永山流域の日単位の水循環モデル

(a) タンク・モデル表示

(b) 数式表示

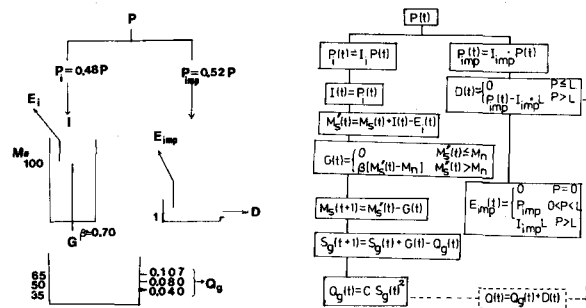
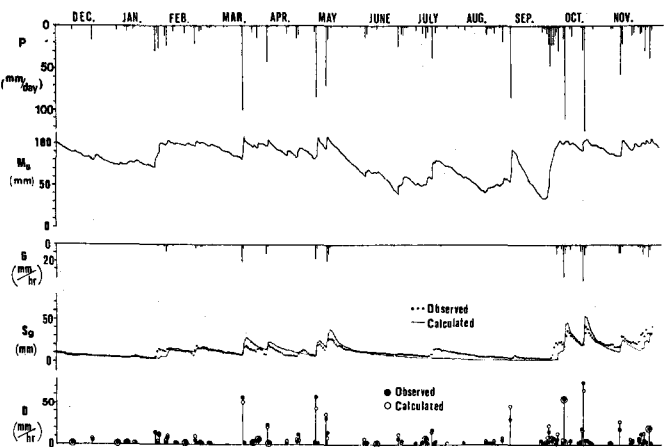


図23. 永山流域の日単位の水循環モデルによる計算値と実測値



P : 雨量 Ms : 不飽和帶の水分保留量

$G$  : 地下水涵養量  $S_g$  : 地下水貯留量

D<sub>1</sub>：直接流出量

### 3-5. 永山流域の降雨時の水循環機構

ここでは、永山流域の降雨時の1時間単位の水循環機構について検討する。

#### (1) 直接流域機構<sup>9)</sup>

永山流域は、流域面積 2.8 ha の微小流域であるので、降雨時の1時間単位の直接流出機構を考える際には、不浸透域に降る降雨はそのまま直接流出になるとする。ただし、(16)式を考慮して、1 mmの初期損失（不浸透域換算で  $L \approx 2 \text{ mm}$ ）を考慮する。

$$D(t) = \begin{cases} 0 & \sum P(t) \leq L \\ P_{\text{imp}}(t) = I_{\text{imp}} \cdot P(t) & \sum P(t) > L \end{cases} \quad \dots \dots \dots \quad (23)$$

#### (2) 地下水流出機構

永山流域の日単位の地下水流出機構は、不圧地下水流出の貯留関数(21)式で表されることはすでに述べたが、(21)式中の右辺の ( $Sg - 35$ ) は  $Sg$  とおきかえてもよい。すなわち、次のようになる。

$$Qg = 0.0030 Sg^2 \quad \dots \dots \dots \quad (21')$$

降雨時の1時間単位でも、日単位の不圧地下水流出の貯留関数  $Qg = C Sg^2$  が成立すると考え、(21')式の比例定数を1時間単位に換算する。すなわち、次式が得られる。

$$Qg(t) = 0.000125 Sg(t)^2 \quad \dots \dots \dots \quad (24)$$

タンクモデル表示においては、図22.(a)の地下水帶タンクの流出孔の係数を1時間単位に合うように換算する。

#### (3) 地下水涵養機構

永山流域の降雨時の1時間単位の水収支解析結果に基づき、降雨時の不飽和帶の超過保存量  $M_e$  と地下水涵養量  $G$  の相関図を描いた。その一例を図24に示す。他の例も同様な傾向を示し、地下水涵養機構は次式で表される。

$$G(t) = \begin{cases} \beta M_e(t-\tau) & 0 \leq M_e < 5 \\ 0.5 & 5 \leq M_e \end{cases} \quad (25)$$

表8には他の降雨の場合の  $\beta$ ,  $\tau$  を示すが、 $\beta=0.1$ ,  $\tau=0 \text{ hr}$  と固定してもよいと思われる。永山流域の場合、 $M_e$  が 5 mm 以上では、 $G$  が一定値 0.5 mm/hr (浸透域に換算すると 1 mm/hr) になる点が長池流域と大きく異なる。しかも比例定数  $\beta$  が 0.1 であり、長池流域の 1/5 程度である。遅れ時間  $\tau$  は 0 hr であり、長池流域の 2 hr より小さい。(25)式は、次のように変形できる。

$$G(t) = \begin{cases} 0 & 0 \leq M_s < M_n \\ 0.1(M_s(t)-M_n) & M_n \leq M_s < M_n + 5 \\ 0.5 & M_n + 5 \leq M_s \end{cases} \quad (26)$$

この(26)式で表される地下水涵養機構をタンク・モデルで表示すると、図25中の表層タンクのようになる。

図24. 永山流域の不飽和帶の超過

保存量  $M_e$  と地下水涵養量  $G$

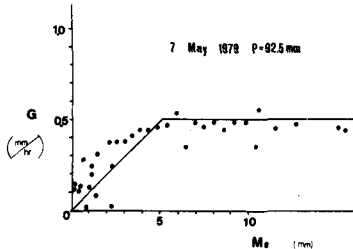


表8. 永山流域の地下水

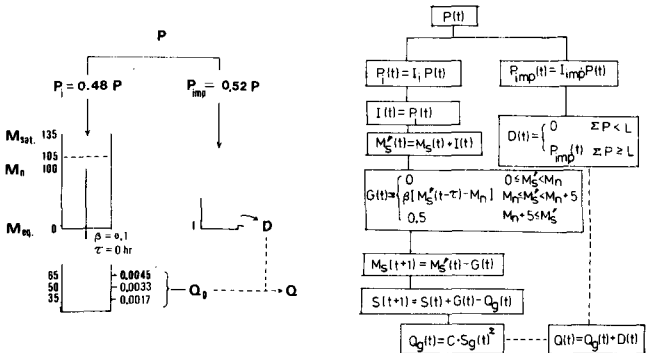
涵養機構の定数

	$P$ (mm)	$\tau$ (hr)	$\beta$
1	25.5	0	0.10
2	36.0	0	0.10
3	8.5	0	0.10
4	101.0	0	0.10 ( $M_e \geq 5$ $G=0.5$ )
5	42.0	0	0.10 ( $M_e \geq 5$ $G=0.5$ )
6	26.5	0	0.09
7	92.5	0	0.10 ( $M_e \geq 5$ $G=0.5$ )
8	91.0	0	0.10 ( $M_e \geq 5$ $G=0.5$ )
9	22.0	0	0.07

図25. 永山流域の降雨時の1時間単位の水循環モデル

(a) タンク・モデル表示

(b) 数式表示



#### (4) 降雨時の水循環モデル

以上述べてきた降雨時の水循環の部分機構を合成して、図25に示す永山流域の降雨時の1時間単位の水循環機構モデルを作成した。降雨Pのうち、不浸透域に降る $P_{imp} = 0.52 P$ は②式に従い直接流出となる。浸透域への降雨 $P_i = 0.48 P$ は土中へ浸透し、不飽和帶水分量 $M_s$ を増大させるとともに、⑥式に従い一部は地下水涵養Gとなる。地下水貯留量 $S_g$ の2乗に比例する地下水流出 $Q_g$ がある。

こうして得た、永山流域の降雨時の1時間単位の水循環モデルによる直接流出量Dと地下水貯留量 $S_g$ の計算値と実測値を比較した結果を図26に例示する。この図をみると、直接流出量と地下水貯留量の両方とも、計算値と実測値はよく対応しており、モデルの妥当性が示されたといえる。

#### 4. 丘陵地の水循環機構に対する都市化の影響

ここでは、自然流域（長池流域）と都市流域（永山流域）の水循環モデルの比較により、丘陵地の水循環機構に対する都市化の影響について述べ、本稿の結論とする。図27には、自然流域と都市流域の日単位の水循環モデルを示し、図28には自然流域と都市流域の降雨時の1時間単位の水循環モデルを示す。表9には、自然流域と都市流域の水循環モデルのパラメーターの比較を示す。これらの図表は、丘陵地の水循環機構に対する都市化の影響を表している。これらを参考にして、丘陵地の水循環機構に対する都市化の影響に関する考察を以下に列記する。

(1) 直接流出機構に関しては、直接流出の生起領域が、自然流域の場合には湿地・池という飽和域であるのに対して、都市流域の場合には、建物・道路などの不浸透域である。従って、直接流出率は自然流域の場合には飽和域面積率 $I_s$ （長池流域では $I_s = 0.10$ ）にほぼ等しいのに対して、都市流域の場合には不浸透域面積率 $I_{imp}$ （永山流域では $I_{imp} = 0.52$ ）にほぼ等しい。一方、浸透域への降雨は、本研究で解析対象とした降雨に関する限り、自然流域でも都市流域でもほとんど浸透すると考えられる。これは、対象流域の表層地質が浸透性のよい関東ローム層で被覆されているためといえる。

(2) 地下水流出機構に関しては、自然流域も都市流域も不圧地下水流出の貯留関数である

図26. 永山流域の降雨時の水循環モデルによる計算値と実測値

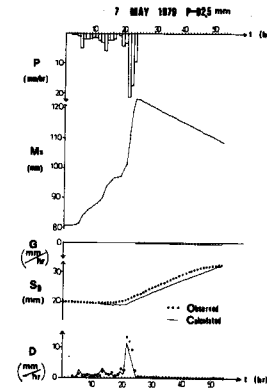


図27. 自然流域と都市流域の日単位の水循環モデル

(a) 自然流域（長池流域） (b) 都市流域（永山流域）

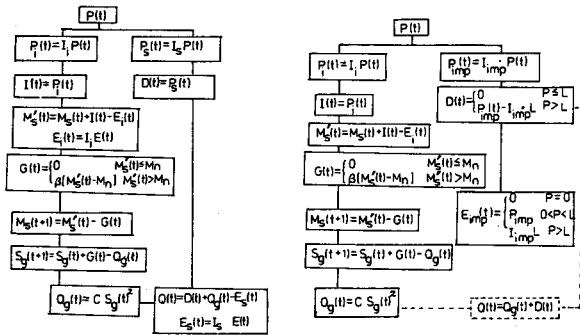
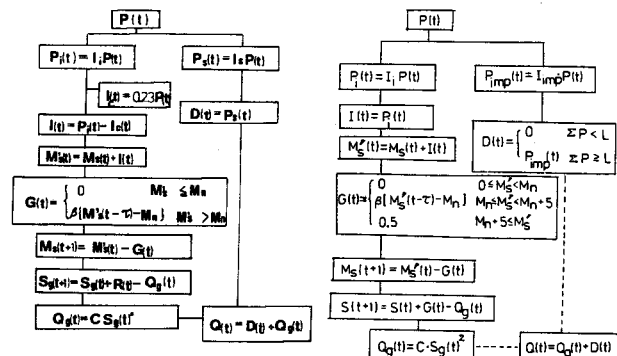


図28. 自然流域と都市流域の降雨時の水循環モデル

(a) 自然流域（長池流域） (b) 都市流域（永山流域）



{ $Qg = CSg^2$ } で表され、両者の定数は日単位で 0.003 程度の同様な値を示し、地下水流出機構に対する都市化の影響は小さい。

(3) 地下水涵養機構に関しては、地下水涵養域である浸透域が、自然流域に比べて都市流域では少ない点が大きな影響を与えており、表 9 をみるとわかるように、日単位では地下水涵養機構の比例定数  $\beta$  が自然流域では 1 であるのに対して、都市流域では 0.7 と若干小さく、地下水涵養が長びく傾向がみられる。降雨時の 1 時間単位では、地下水涵養機構の定数  $\beta$  が自然流域では 0.28 であるのに対して都市流域では 0.1 と少しだけ程度である。遅れ時間は、自然流域では 2 hr であり、都市流域では 0 hr である。特に、都市流域では、超過保留量  $Me$  が 5 mm 以上になると地下水涵養は 0.5 mm (浸透域に換算すると 1 mm/hr) で一定となる。以上の結果は両流域の水文地質特性と対応していると考えられる。表 10 には両流域の浸透域の表層(深度 2 m 程度まで)の水恒数を平衡水分量を 0 として示してあるが、最小容水量と平衡水分量の差は自然・都市流域とも 200 mm 前後でほぼ等しいが、飽和水分量と最小容水量の差は自然流域では 140 mm 程度であるのに対して、都市流域では 70 mm 程度と約半分であり、都市化に伴い重力水の移動でできる空隙の減少が顕著にみられる。

(4) 蒸発散に関しては、自然流域では全域が蒸発散面であるが、都市流域では不浸透域からは降雨毎に 1 mm (不浸透域換算で 2 mm) 程度までの蒸発しかなく、蒸発散面の減少がみられる。

#### 謝 辞

本研究を進めるに当り、多大な御協力を賜った日本住宅公団南多摩開発局の関係各位、東大生産研の小池雅洋氏、日本工営の村上雅博氏、本学の内田善久・岡泰道・山本聰君に感謝の意を表します。なお、研究費の一部として東急環境净化財団の助成を受けていることを付記する。

#### 参考文献

- 1) 安藤・虫明・内田：丘陵地の試験流域における水循環機構について、第 23 回水理講演会論文集、1979.
- 2) 安藤・虫明：丘陵地の自然状態の試験流域における水循環機構、第 24 回水理講演会論文集、1980.
- 3) 金子良：農業水文学、共立出版、p11. 1973. 4) 山崎不二夫監修：土壤物理、養賢堂、p93. 1969.
- 5) 安藤・高橋・虫明：丘陵地の試験流域における降雨時の水循環機構、土木学会第 35 回年講 2 部、1980.
- 6) 安藤・高橋・虫明：丘陵地における洪水流出率と流域の地被条件、第 17 回自然災害シンポ論文集、1980.
- 7) 安藤・虫明・山本：多摩丘陵の自然流域と都市流域の水収支の比較、土木学会第 8 回関東支部講、1981.
- 8) 山口高志他：都市における降雨流出調査—第 1・2・3 報、土木技術資料 13, 14, 15, 1971 ~ 1973.
- 9) 安藤・高橋・山本：多摩丘陵の都市化試験流域における流出機構、土木学会第 8 回関東支部講、1981.

表 9. 自然流域と都市流域の水循環モデルのパラメーターの比較

#### (a) 日単位の水循環モデルのパラメーター

	自然流域 (長池流域)	都市流域 (永山流域)
直 接 流 出	$D(t)=I_s \cdot P(t)$ ( $I_s=0.10$ )	$D(t)=I_{imp} \cdot P(t-L)$ ( $I_{imp}=0.52$ , $L=2$ )
浸 透	$I(t)=I_i \cdot P(t)$ ( $I_i=0.90$ )	$I(t)=I_i \cdot P(t)$ ( $I_i=0.48$ )
地下 水 流 出	$Qg(t)=C \cdot Sg(t)^2$ ( $C=0.0027$ )	$Qg(t)=C \cdot Sg(t)^2$ ( $C=0.0030$ )
地下 水 涵 藏	$G(t)=\begin{cases} 0 & M_S(t) < M_n \\ \beta(M_S'(t)-M_n) & M_S'(t) \geq M_n \end{cases}$ ( $\beta=1.0$ )	$G(t)=\begin{cases} 0 & M_S(t) < M_n \\ 1.5(M_S'(t)-M_n) & M_S'(t) \geq M_n \end{cases}$ ( $\beta=0.7$ )
蒸 發 散	$E_s(t)=I_s \cdot E(t)$ $E_i(t)=I_i \cdot E(t)$	$E_{imp}(t)=\begin{cases} 0 & P(t)=0 \\ I_{imp} \cdot P(t) & 0 \leq P(t) < L \\ I_{imp} \cdot L & P(t) \geq L \\ E_i(t) & \text{otherwise} \end{cases}$

#### (b) 降雨時の水循環モデルのパラメーター

	自然流域 (長池流域)	都市流域 (永山流域)
直 接 流 出	$D(t)=I_s \cdot P(t)$ ( $I_s=0.10$ )	$D(t)=\begin{cases} 0 & Z_P < L \\ I_{imp} \cdot P(t) & Z_P \geq L \\ I_{imp}=0.52, L=2 \end{cases}$
浸 透	$I(t)=I_i \cdot P(t)-I_c$ ( $I_i=0.90$ , $I_c=0.23P(t)$ )	$I(t)=I_i \cdot P(t)$ ( $I_i=0.48$ )
地下 水 流 出	$Qg(t)=C \cdot Sg(t)^2$ ( $C=0.00011$ )	$Qg(t)=C \cdot Sg(t)^2$ ( $C=0.00013$ )
地下 水 涵 藏	$G(t)=\begin{cases} 0 & M_S(t) < M_n \\ \beta(M_S'(t-t')-M_n) & M_S'(t-t') \geq M_n \end{cases}$ ( $\beta=0.28$ , $t'=2\text{hr}$ )	$G(t)=\begin{cases} 0 & M_S(t) < M_n \\ 0.5 & M_S(t) \geq M_n \\ \beta(M_S'(t-t')-M_n) & M_S'(t-t') \geq M_n \\ 0.5 & M_n \leq M_S(t) \leq M_n + 5 \\ M_n + 5 & M_S(t) > M_n + 5 \end{cases}$ ( $\beta=0.10$ , $t'=0\text{hr}$ )

表 10. 自然流域と都市流域の浸透域の表層の水恒数

	自然流域 (長池流域)	都市流域 (永山流域)
飽和水分量 $M_{sat.}$	320 mm	280 mm
最小容水量 $M_n.$	180 mm	210 mm
平衡水分量 $M_{eq.}$	0 mm	0 mm